腐植酸吸附铁离子的性能研究

钟世杰

中山华明泰科技股份有限公司民众分公司,广东中山,528400;

摘要:腐植酸作为天然高分子螯合材料,不仅具备纤维素状网络多孔结构,还含有羧基、酚羟基等多种极性官能团,对金属离子表现出酸性、离子交换性及络合螯合性。本文以腐植酸为吸附剂,针对 Fe³+ 开展吸附实验,验证其吸附可行性,并分析吸附时间、温度及溶液 pH 值对吸附效果的影响。结果表明,当吸附时间为 1h、温度为 298K、溶液 pH 值为 2.5 时,腐植酸对 Fe³+ 的吸附量达到较高水平,为后续腐植酸在含 Fe³+ 废水处理中的应用提供参考。

关键词:腐植酸; Fe3+; 吸附性能; 影响因素

DOI: 10. 64216/3080-1508. 25. 11. 054

引言

腐植酸是自然界中广泛存在的天然高分子物质,其独特的结构赋予了优异的性能 —— 既拥有类似纤维素的多孔网络结构,又富含羧基、酚羟基、醇羟基、醌基等极性官能团 ^[1]。这些结构特点使得腐植酸对金属离子具有显著的吸附能力,可通过酸性作用、离子交换或络合螯合反应与金属离子结合,进而实现对金属离子的固定与去除。

凭借这一特性,腐植酸在多个领域得到广泛应用:农业领域中,可用于土壤改良、制备腐植酸类肥料与农药^[2-3]:工业领域里,在建筑、陶瓷及煤炭加工中发挥作用^[4];医药领域,可研发腐植酸类药物或用于泥疗^[5];环保领域,更是在工业废水与废气处理中展现出巨大潜力^[6]。尤其在重金属废水处理方面,腐植酸因来源广泛、制备成本低,且脂肪族、芳香族结构及多种活性基团能增强离子吸附与杂质脱除能力^[7],成为当前研究的热点方向。本文聚焦腐植酸对 Fe³⁺ 的吸附性能,深入探究关键因素对吸附效果的影响,旨在为其实际应用提供实验依据。

1 实验部分

1.1 试剂与仪器

实验所用主要试剂包括腐植酸、硫酸铁、硫酸; 仪器有上海 721B 可见分光光度计、HH-S24S 数显恒温水浴锅、JB-3 定时恒温磁力搅拌器、TB-214 电子分析天平、PHS-3C 精密 pH 计、数显鼓风干燥箱、DW-I 多功能电动搅拌器等。

1.2 Fe3+ 溶液的配制

为确保溶液中仅含 Fe³* 一种金属离子,实验选用硫酸铁固体配制溶液。具体步骤如下: 首先,用电子分析天平称取一定质量的硫酸铁固体,置于烧杯中;随后,向烧杯中加入去离子水,同时滴加适量硫酸溶液,边加边搅拌至固体完全溶解,控制溶液 pH 值约为 1.0;最后,将溶液转移至容量瓶中定容,配制成 Fe³* 浓度为28mg/L 的标准溶液,用于后续吸附实验^[6]。

1.3 腐植酸对 Fe3+ 的吸附实验

本实验重点探究吸附时间、吸附温度及溶液 pH 值 三个因素对腐植酸吸附 Fe^{3+} 效果的影响,以吸附率和 吸附量 $Q(mg \cdot g^{-1})$ 作为吸附效果的评价指标。

实验操作流程:量取 30mL 上述 Fe³ + 标准溶液,倒入 100mL 圆底烧瓶中;向烧瓶内加入 0.5g 腐植酸,将烧瓶固定在带搅拌器的恒温水浴锅上,启动搅拌进行吸附反应;反应达到设定时间后,对固液混合物进行抽滤分离;收集滤液与滤渣,滤渣放入真空干燥箱,在60℃条件下干燥 3h,滤液用于测定剩余 Fe³ + 浓度^[4]。吸附率与吸附量的计算公式如图 1 所见。

吸附率 =
$$\frac{C_0 - C_1}{C_0} \times 100\%$$
(1-1)

Co—吸附前溶液中离子初始质量浓度(mg·L-1);

$$C_1$$
—吸附后溶液中离子质量浓度($mg \cdot L^{-1}$);
$$Q = \frac{V(C_0 - C_1)}{(1 - 2)}$$

图 1: 吸附率与吸附量的计算公式

2 结果与讨论

2.1 吸附时间对吸附效果的影响

实验条件:溶液 pH=1.2、腐植酸用量 0.5g、吸附温度 313K,考察吸附时间为 0.5h、1h、1.5h、2h、3h、4h、5h、6h、7h 时的吸附效果,结果如表 1、图 2 所示。

表 1: 吸附时间对 Fe3+ 吸附效果的影	·베미
------------------------	-----

	-	
吸附时间/h	Fe³+的吸附率/%	Q/mg·g ⁻¹
0.5	25.63	0.43
1.0	26.71	0.45
1.5	24.74	0.42
2.0	24.96	0.42
3.0	26.06	0.44
4.0	23.38	0.39
5.0	23.61	0.40
6.0	23.84	0.40
7.0	23.84	0.40

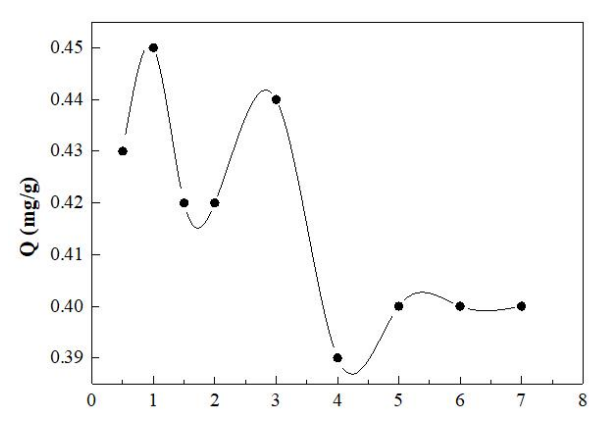


图 2: 吸附时间对 Fe3+吸附量的影响

腐植酸中的羧基、酚羟基等基团含电子给予体,易与金属离子配位。从表 1、图 2 可见,随着吸附时间延长,吸附率与吸附量先上升后下降,最终趋于稳定。这是因为吸附初期,Fe³⁺ 先在腐植酸分子表面及大孔内快速吸附,随着反应进行,吸附逐渐向微孔推进,传质速率减慢; 当吸附达到一定时间后,体系出现解吸现象,吸附与解吸过程逐渐平衡。其中,吸附时间为 1h 时,吸附率与吸附量达到较高值,吸附效果最佳。

2.2 吸附温度对吸附效果的影响

实验条件: 腐植酸用量 0.5g、吸附时间 1h、溶液 pH=1.2,考察吸附温度为 298K、303K、308K、313K、318K、323K、328K、333K、338K、343K 时的吸附效果,结果如表 2 和图 3 所示。

表 2: 吸附温度对铁离子的吸附影响

吸附温度/K	Fe³+的吸附率/%	Q/mg·g ⁻¹
298	27.78	0.47

303	26.50	0.46
308	25.85	0.44
313	26.06	0.43
318	26.06	0.44
323	26.50	0.45
328	25.85	0.43
333	25.63	0.43
338	22.92	0.39
343	21.99	0.37

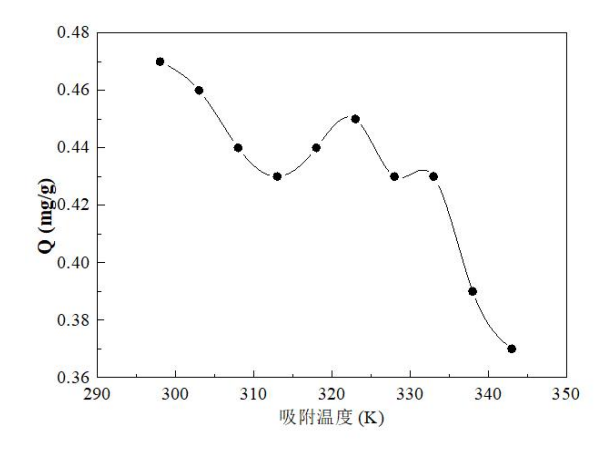


图 3: 吸附温度对 Fe3+吸附量的影响

由表 2 和图 3 可知,随着吸附温度升高,Fe³*的 吸附率与吸附量整体呈下降趋势,在 298K 时吸附效果 最优。吸附过程分为物理吸附与化学吸附: 化学吸附需 吸收热量,升温可促进反应; 物理吸附为放热过程,降 温更利于吸附。结合实验数据推测,腐植酸对 Fe³*的 吸附以物理吸附为主,且腐植酸热稳定性有限,温度过高易发生分解,进一步导致吸附能力下降。

2.3 溶液 pH 对吸附效果的影响

基于上述实验结果,确定吸附时间 1h、吸附温度 298K 为最优基础条件,在此前提下,保持腐植酸用量 0.5g,考察溶液 pH 值为 0.5、1、1.2、1.5、2、2.5、3 时的吸附效果,结果如表 3 和图 4 所示。

表 3: 反应溶液的 pH 值对 Fe3+吸附的影响

铁离子 溶液 pH 值	Fe³+吸附/%	Q/mg·g ⁻¹
0.5	25.18	0.42
1.0	26.06	0.44
1.2	26.71	0.45
1.5	29.85	0.50
2.0	40.29	0.68
2.5	47.13	0.79
3.0	42.40	0.71

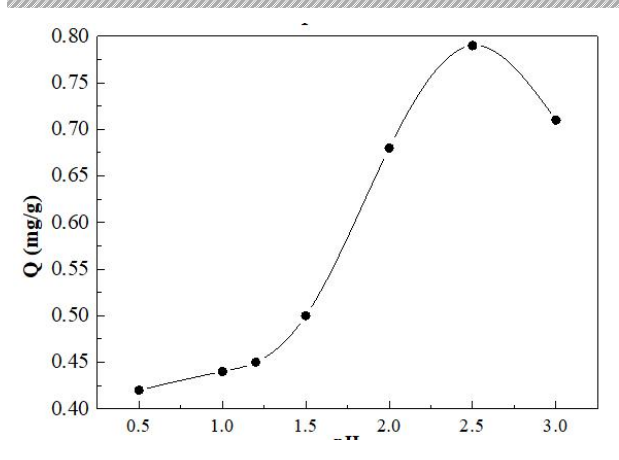


图 4: 反应溶液的 pH 值对 Fe3+吸附量的影响

从表 3 和图 4 可看出,在实验考察的 pH 范围内,随着溶液 pH 值增大,Fe^{3 *} 的吸附率与吸附量先快速上升至峰值,随后逐渐下降,在 pH=2.5 时达到最佳吸附效果。原因在于: 腐植酸属于弱解离有机酸,pH 值较低时,羧基与酚羟基的氢解离受阻,与 Fe^{3 *} 的结合能力减弱,吸附效果较差;随着 pH 值升高,溶液中氢离子浓度降低,促进腐植酸酸性基团解离,与 Fe^{3 *} 的结合能力增强,吸附率提升;当 pH 值继续增大,溶液中 0H⁻ 与 Fe^{3 *} 的作用力增强,导致 Fe^{3 *} 与腐植酸的结合被抑制,吸附率与吸附量随之下降。

3 结论

本实验通过单因素吸附实验验证了腐植酸对 Fe³ * 的吸附能力,并确定其最佳吸附条件为: 吸附时间 1h、吸附温度 298K、溶液 pH=2.5,此时 Fe³ * 的吸附率最高可达 47.13%,吸附量最大为 0.79mg/g。

腐植酸对 Fe³* 的吸附机制主要包括四种形式:一 是离子交换,即腐植酸分子羧基中的氢被 Fe³* 取代; 二是络合反应,腐植酸与 Fe³* 形成稳定的金属络合物; 三是静电吸附,腐植酸解离后带负电的羧基与带正电的 Fe³* 通过静电引力结合;四是表面吸附,腐植酸固体粉末具有较大比表面积与表面能,可通过表面作用吸附Fe³*。这些机制共同作用,使得腐植酸对 Fe³* 表现出良好的吸附性能,为其在含 Fe³* 废水处理中的实际应用提供了理论与实验支撑。

参考文献

[1] 曾宪成. 腐植酸本源性肥料可持续发展[J]. 腐植酸, 2013(4): 1-6.

[2] 罗煜,张玉华,赵立欣,向欣,程红胜,赵小蓉,林启美.生物腐植酸在低碳农业中的地位与作用[J].腐植酸;2013(1):1-4.

[3]E Bertoncini, V D'Orazio, N Senesi, et al. E ffects of sewage sludge amendment on the prope rties of two Brazilian oxisols and their humic acids[J]. Bioresource Technology, 2008, 99(11): 4972-4979.

[4]Christian N. Albers, Gary T. Banta, Poul E rik Hansen, et al. The influence of organic mat ter on sorption and fate of glyphosate in soil—Comparing different soils and humic substance s[J]. Environmental Pollution, 2009, 157(10): 2865-2870.

[5] 刘丹丹, 邓何, 郭庆时等. 腐植酸在油田钻井液中的应用[J]. 腐植酸, 2012(3): 11-17, 27.

[6] 周霞萍. 腐植酸药物研究新进展[J]. 腐植酸, 201 0(3): 1-6.

[7] Mohamed Erhayem, Mary Sohn. Effect of humic acid source on humic acid adsorption onto tita nium dioxide nanoparticles[J]. Science of the T otal Environment, 2014, 470-471(2): 92-98.